



KM3NeT

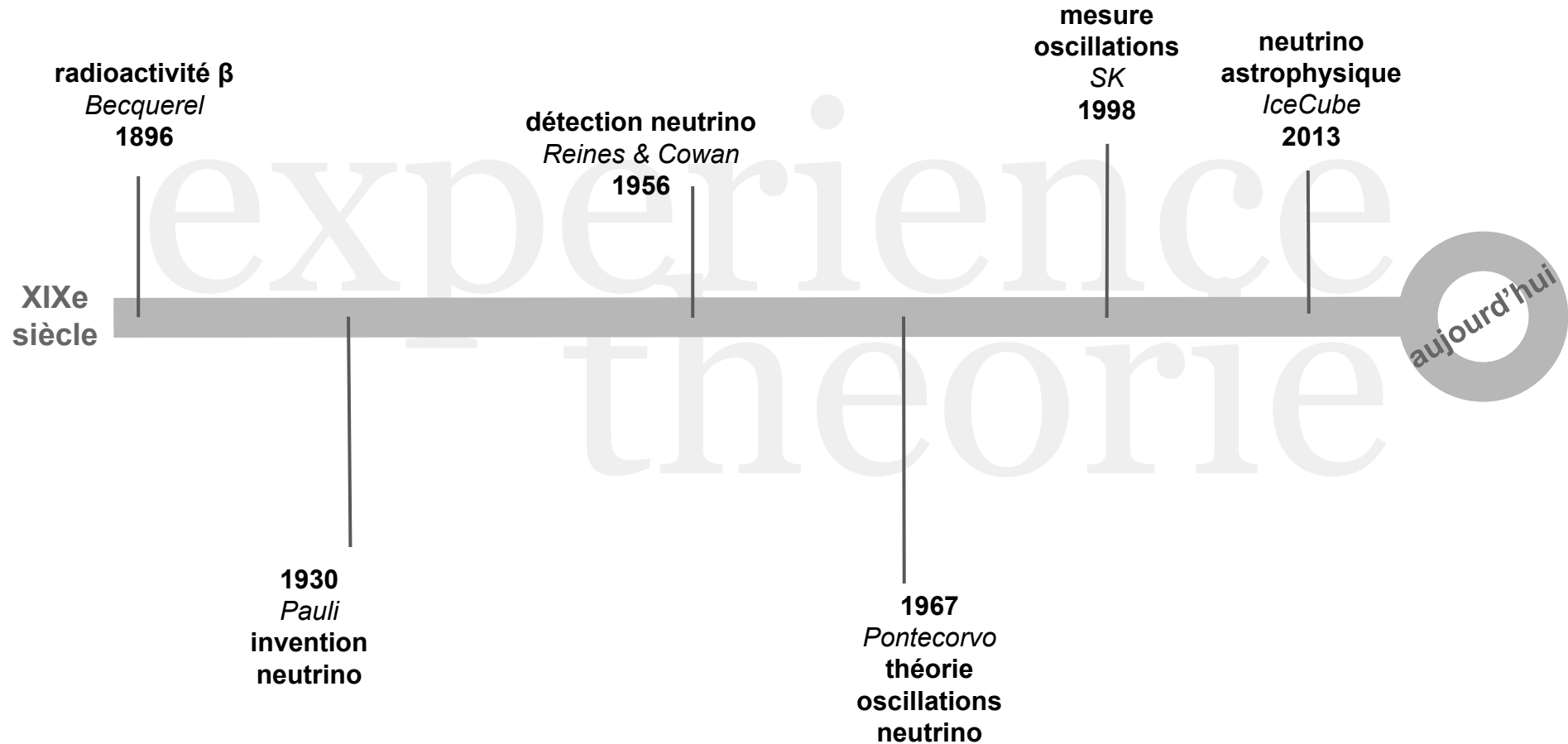
Opens a new window on our universe

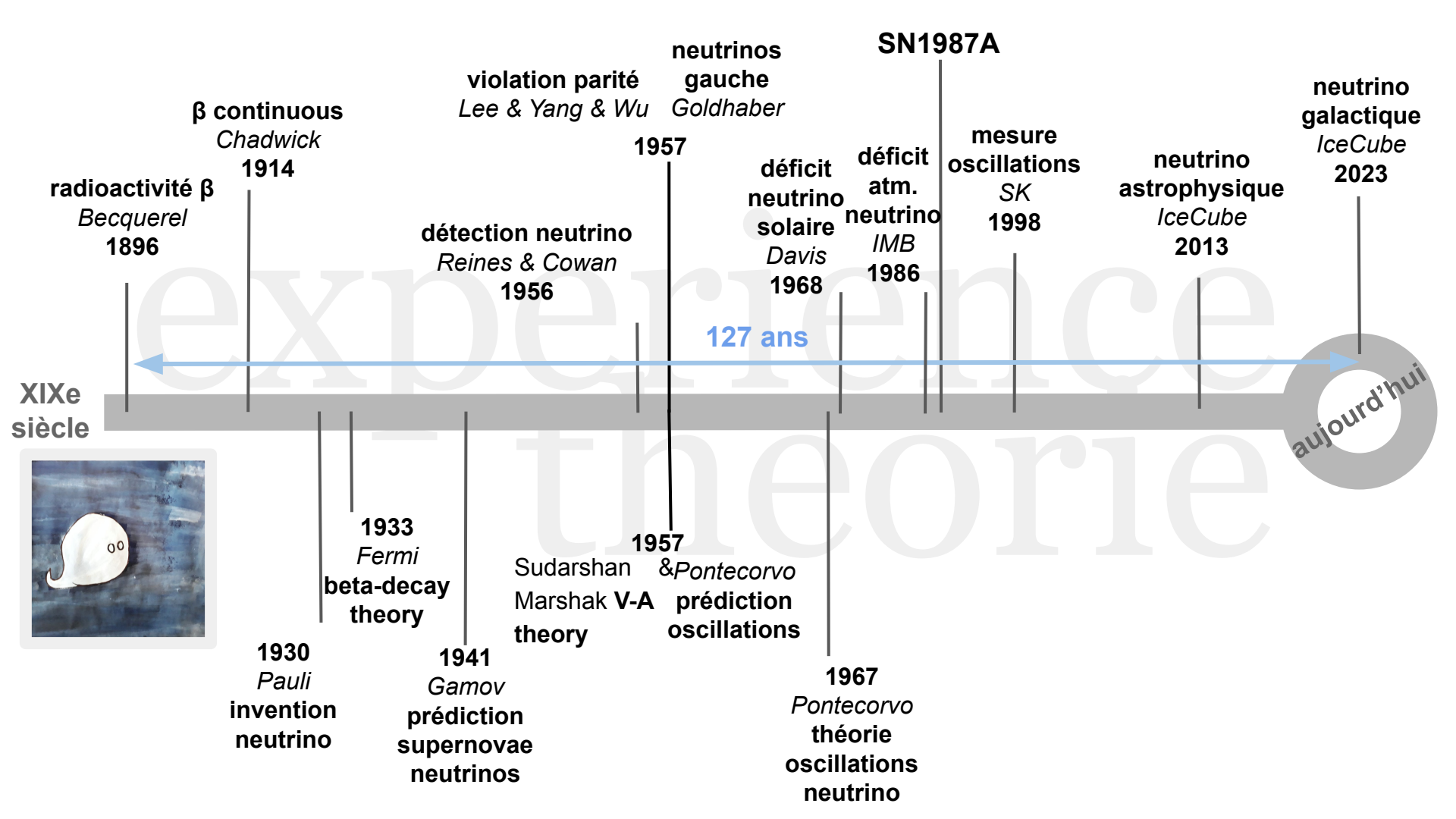


Histoire du neutrino

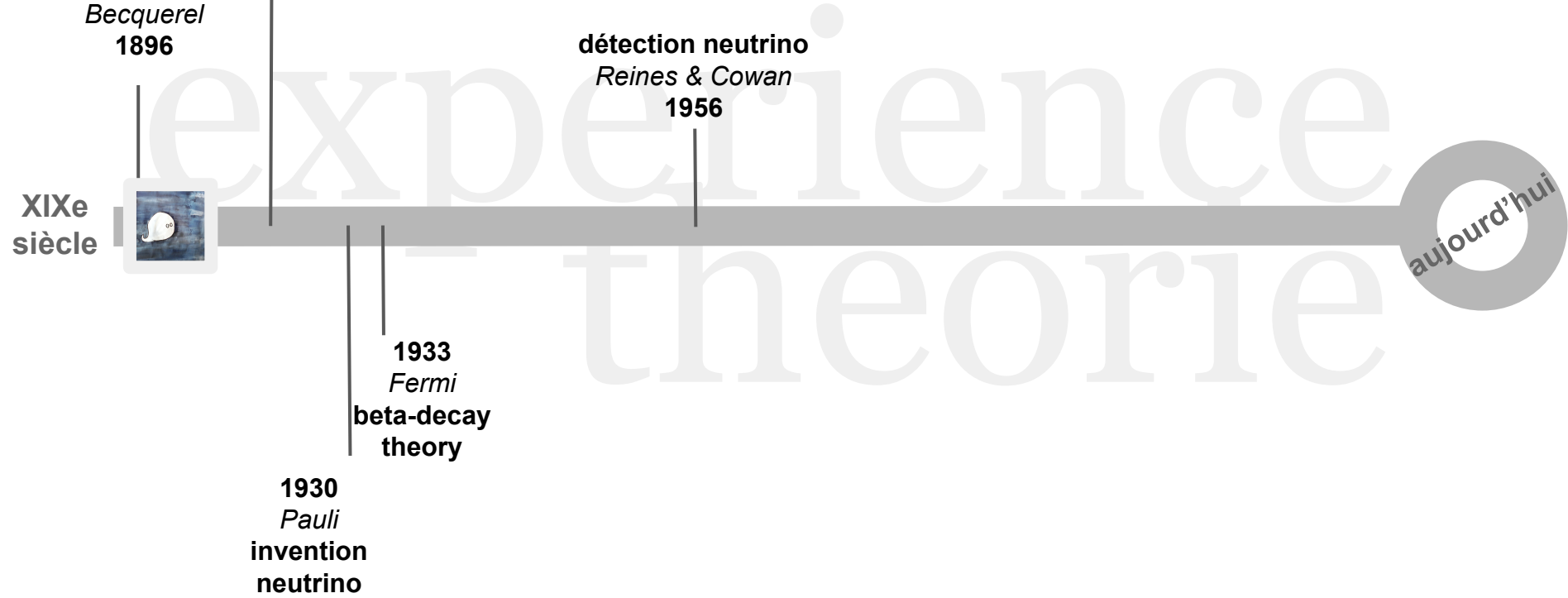


Luc C. · 30/09/2023 · La Seyne



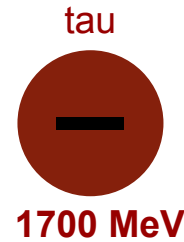
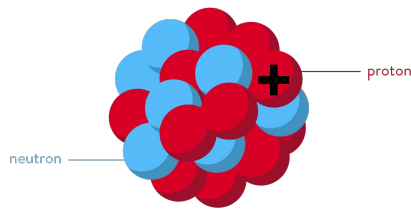


découverte du neutrino



particules

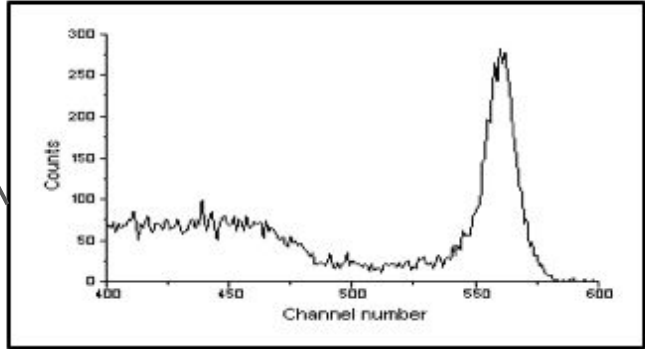
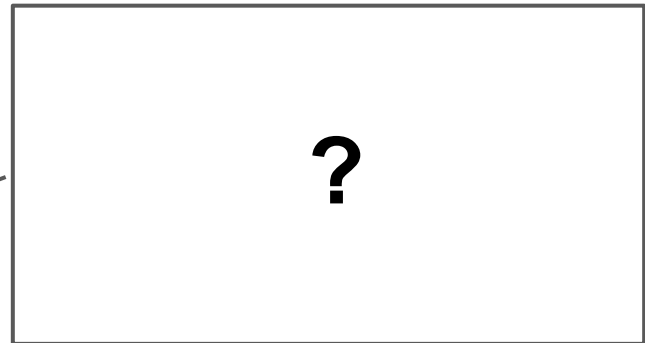
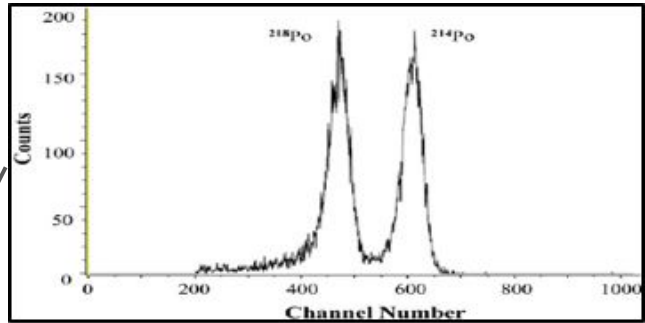
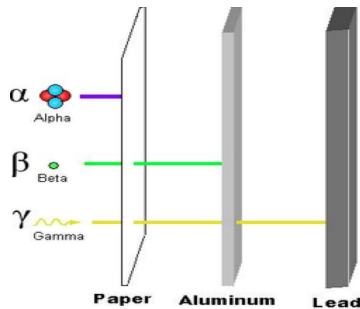
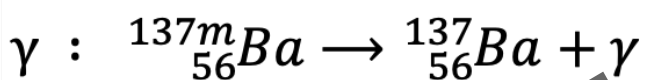
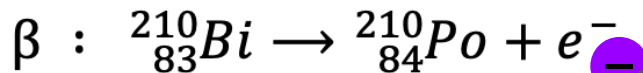
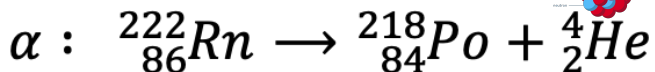
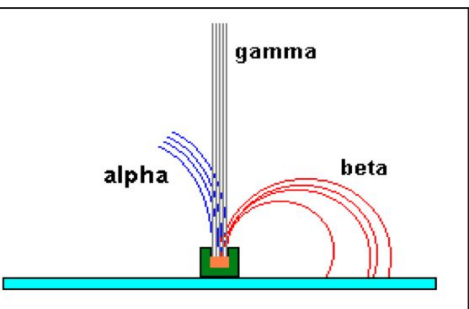
mass : propriété intrinsèque → résistance à l'inertie
unité : $1 \text{ MeV} = 1\,000\,000 \text{ eV}$



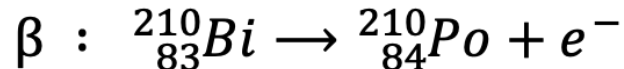
radioactivité

Becquerel
1896

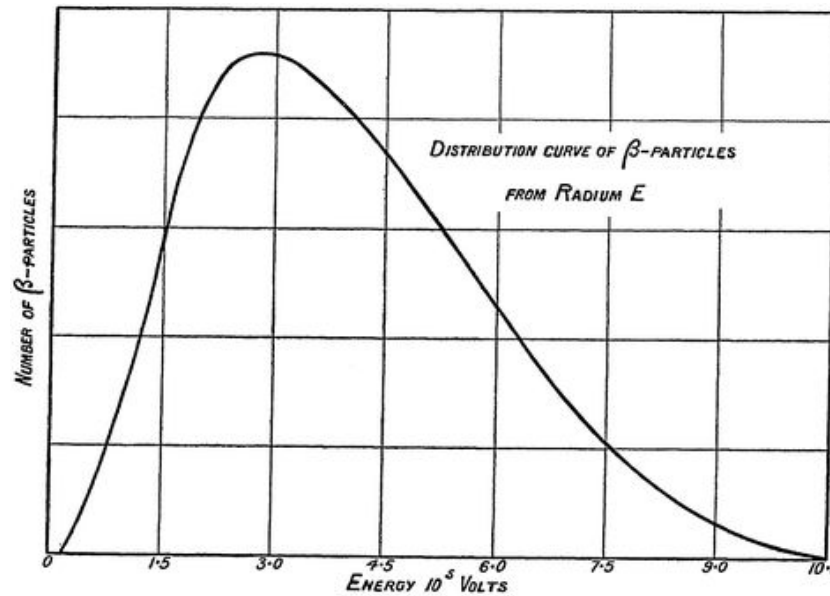
Chadwick
1914



désintégration β spectre continu



Ellis & Wooster 1927



invention d'une nouvelle particule

1930

Pauli

- neutre
- masse faible
- < 0.01 proton
- “neutron”
- $E_p + E_n = \text{cst}$

Hoffm - Photocopy of PLC 0393
Abschrift/15.12.56 PW

Offener Brief an die Gruppe der Radioaktiviten bei der
Gesellschafts-Tagung zu Tübingen.

Abschrift

Physikalisches Institut
der Eidg. Technischen Hochschule
Zürich

Zürich, 1. Des. 1930
Gloriastrasse

Liebe Radioaktive Damen und Herren,

Wie der Überbringer dieser Zeilen, den ich halbvollst
anschreiben bitte, Ihnen der näheren zusammenzusetzen wird, bin ich
angewichelt der "falschen" Statistik der Li_4 - und Li_6 -Kerne, sowie
des kontinuierlichen beta-Spektrums auf einen verweifelten Ausweg
verfallen und um den "Wechselat." (1) der Statistik und des Energiewerts
zu bestimmen möglichkeit, welche die entsprechende
Teilchen, die ich Neutronen nenne (2), in den Kernen existieren,
welche den Spin $1/2$ haben und das Ausschlüsseprinzip befolgen und
sich von Lichtgeschwindigkeit unterscheiden, dass sie
gleich mit Lichtgeschwindigkeit laufen. Die Masse der Neutronen
steht vor derzeitigen Oberseitensichtungen, wie die Elektronen und
Protonen, auf ca. 0.01 Protonenmassen. Das kontinuierliche
beta-Spektrum wäre dann verständlich unter der Annahme, dass beim
beta-Zerfall mit dem Elektron jeweils noch ein Neutron emittiert
wird, derart, dass die Summe der Energien von Neutron und Elektron
konstant ist.

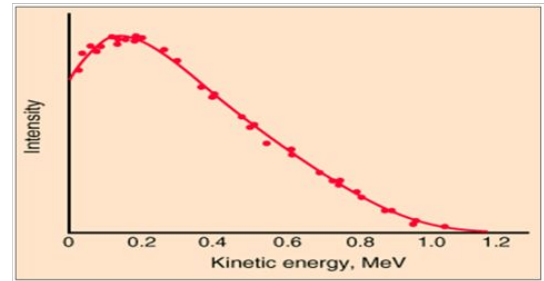
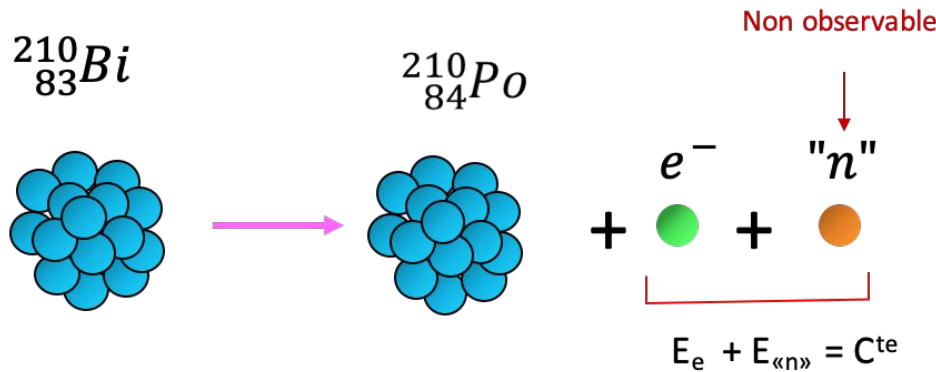
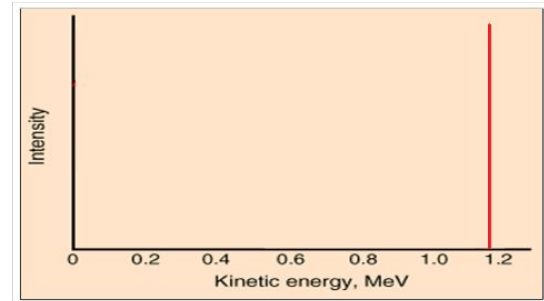
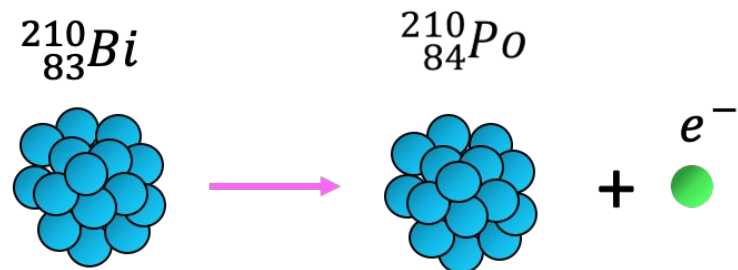
Nun handelt es sich weiter darum, welche Kräfte auf die
Neutronen wirken. Das wahrscheinlichste Modell für das Neutron scheint
mir aus wellenmechanischen Gründen (älteres weise der Überbringer
dieser Zeilen) dieses zu sein, dass das ruhende Neutron ein
monochromatisches Objekt von einem gewissen Moment p_0 ist. Die Experimente
verlangen wohl, dass die Wirkung der Kräfte auf das Neutron
nicht grösser sein kann, als die eines gamma-Strahls und darf dann
 \approx wohl nicht grösser sein als $\sim (10^{-13} \text{ cm})$.

Ich traue mich vorlängig aber nicht, etwas über diese Idee
zu publizieren und wende mich erst vertraulich an Sie, lieber
Radioaktive, mit der Frage, wie es um den experimentellen Nachweis
eines solchen Neutrons stände, wenn dieses ein ebensolches oder etwa
10 mal grösseres Durchdringungsvermögen besitzt, wie ein
gamma-Strahl.

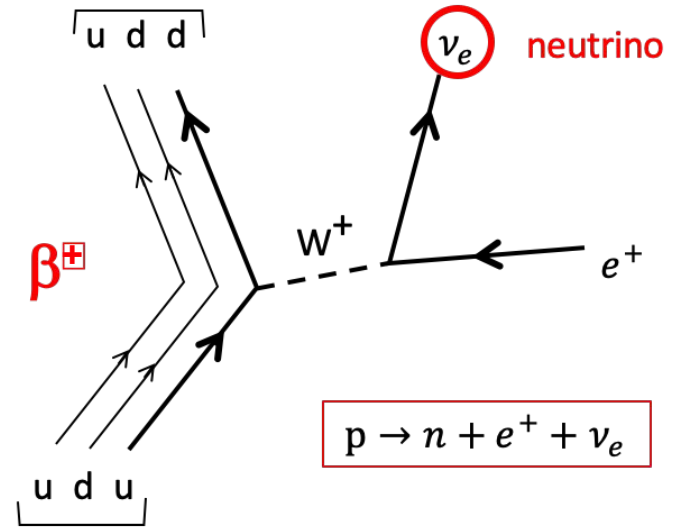
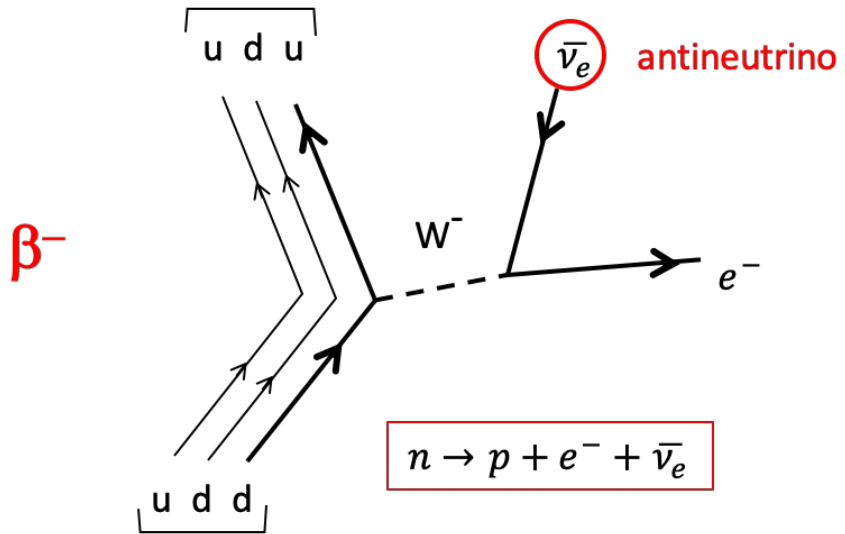
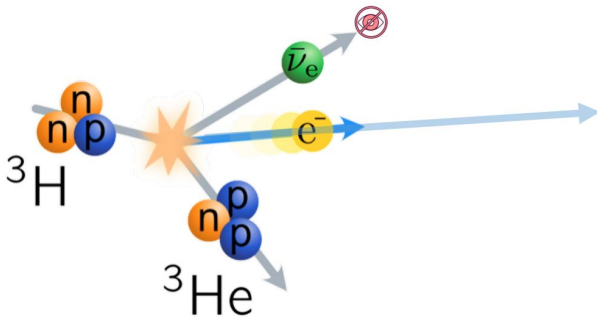
Ich gebe zu, dass mein Ausweg vielleicht von vornherein
wenig wahrscheinlich erscheinen wird, weil man die Neutronen, wenn
sie endlich eine so geringe Masse gehabt hätten, sehr schwer wagen,
Sicherheit und der Erhalt der Statistik beim kontinuierlichen beta-Spektrum
wird durch einen Ausspruch meines verehrten Verfängers im Auto,
Herrn Debye, beleuchtet, der mir persönlich in Brüssel gesagt hat:
„O, davon soll man am besten gar nicht denken, sonst an die neuen
Sternenarten.“ Ich kann Ihnen nur sagen, dass ich diesen Ausspruch
sehr lieb habe, und er ist richtig. Leider kann ich nicht
persönlich in Tübingen erscheinen, da ich infolge eines in der Nacht
vom 6. zum 7. Des. in Zürich stattfindenden Balles hier unabschafflich
bin. Mit vielen Grüßen an Sie, sowie an Herrn Basch, hier
unterstützter Dienster

00

conservation de l'énergie



désintégration β



détection neutrino

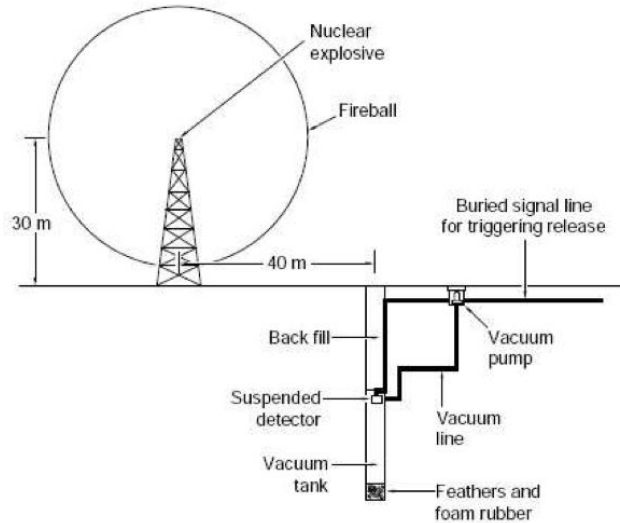
1934 Bethe & Peierls

$\sigma \approx 10^{-44} \text{ cm}^2$ @ 2 MeV \Rightarrow distance d'intération = **1600 a.l.**



→ indétectable

détection neutrino



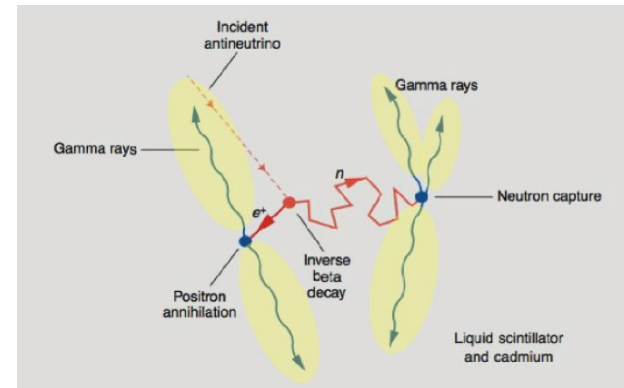
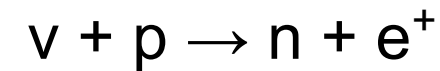
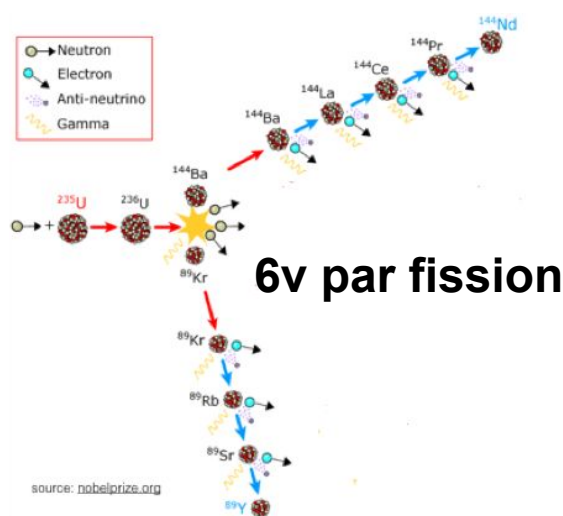
- idée de Fermi
- bombe nucléaire
- flux intense de neutrinos
- plus près de la source



détection neutrino

1953 Reines & Cowan
Handford experiment

réacteur nucléaire d'Handford



bruit = muons atmosphériques

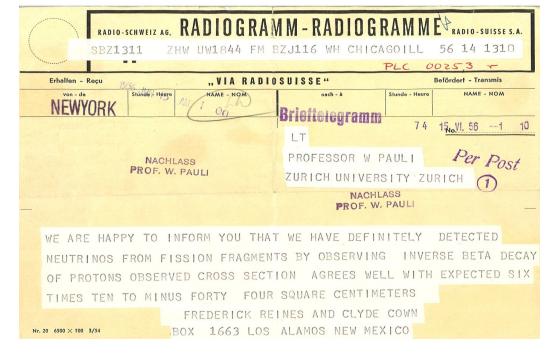
résultats insuffisant $\rightarrow 0.41 \pm 0.20$ events / min (Réacteur ON – OFF)

détection neutrino

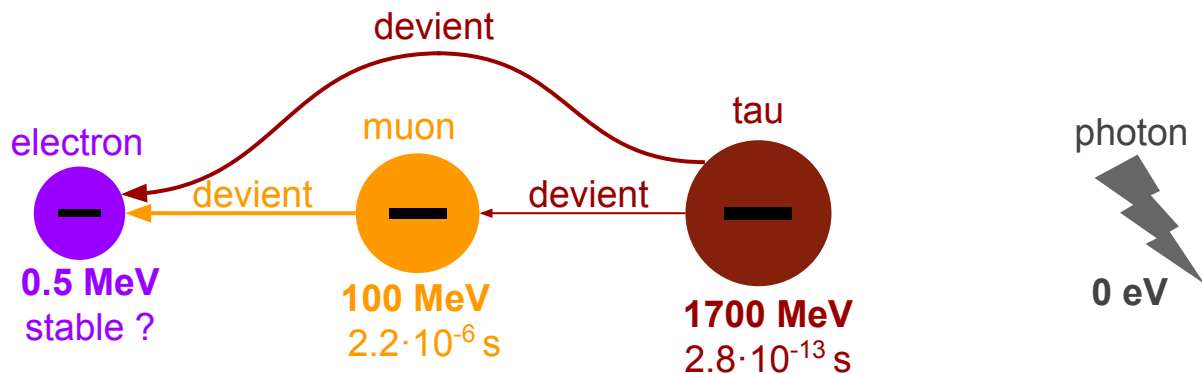
1956 Reines & Cowan
Savannah river



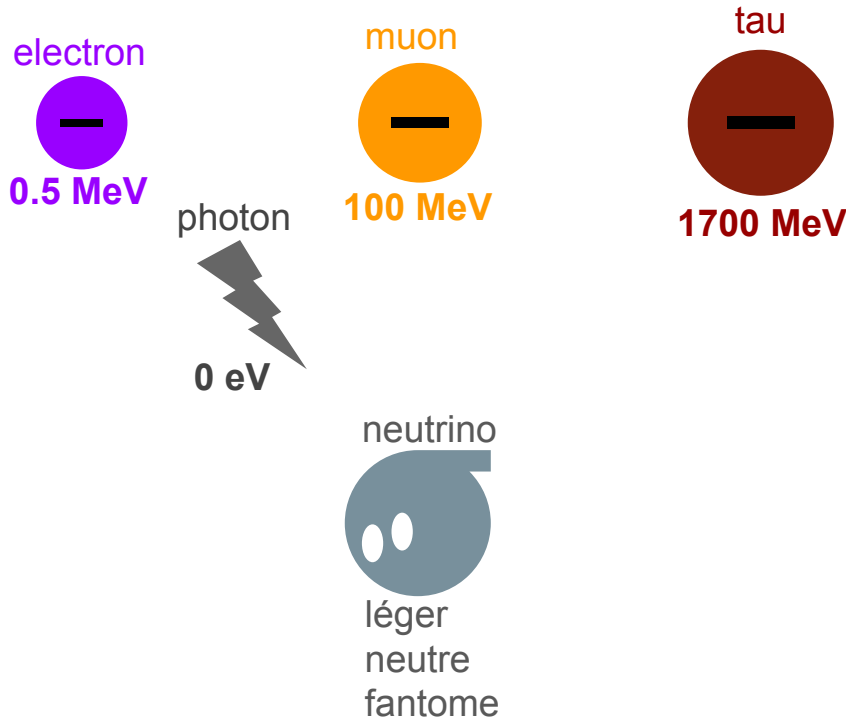
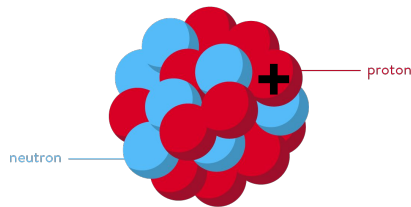
- réduction du bruit cosmique
- signal/bruit = 3/1
- annonce à Pauli 15 juin 1956



particles



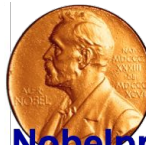
particules



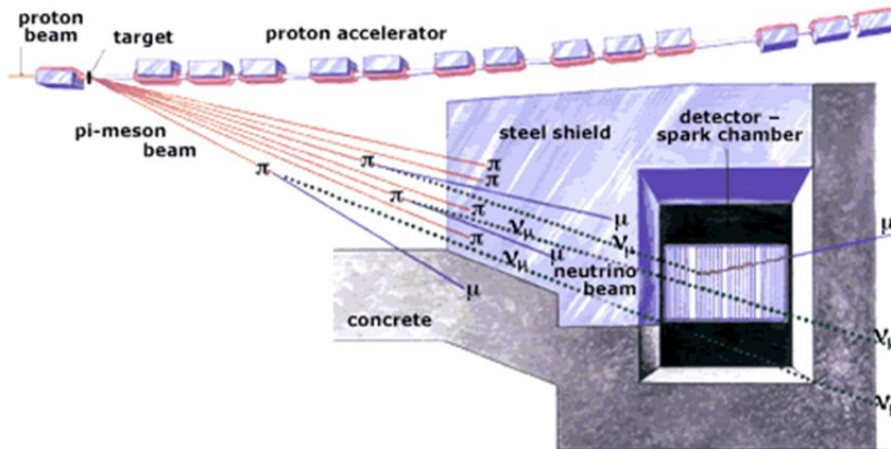
neutrino muonique

1962

Schwartz Lederman
Steinberge

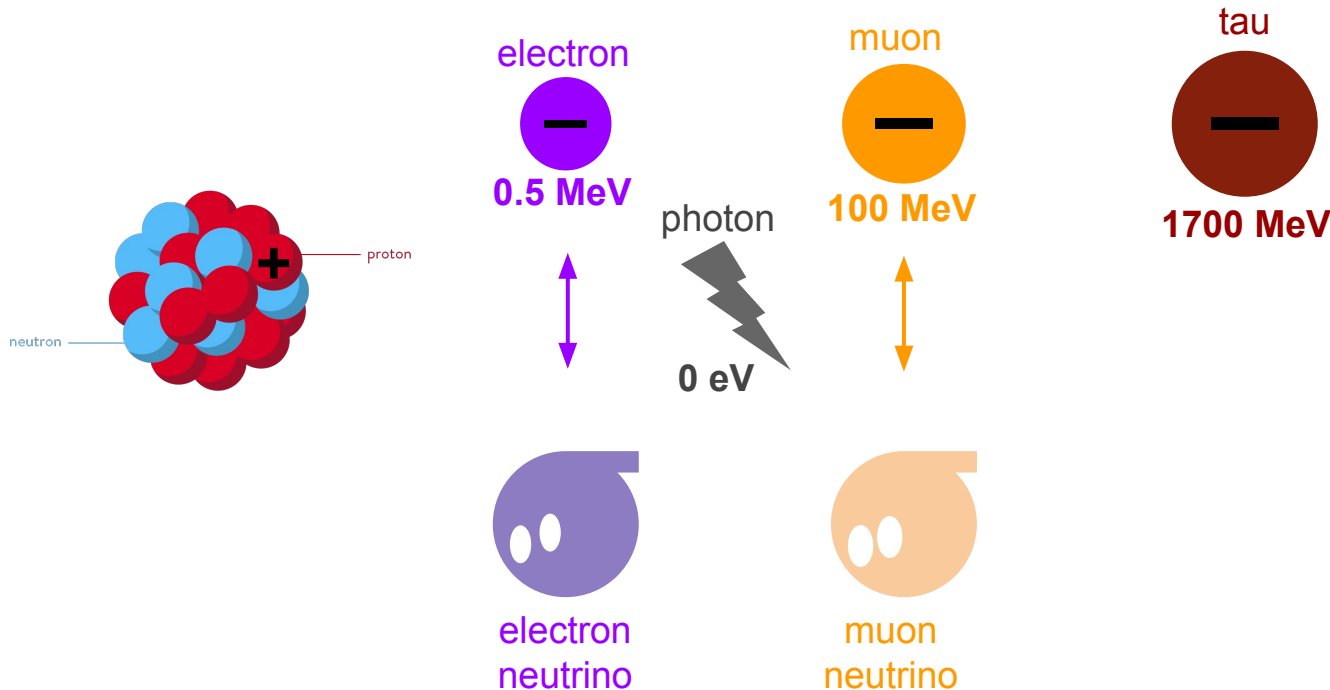


Nobelpreis 1988

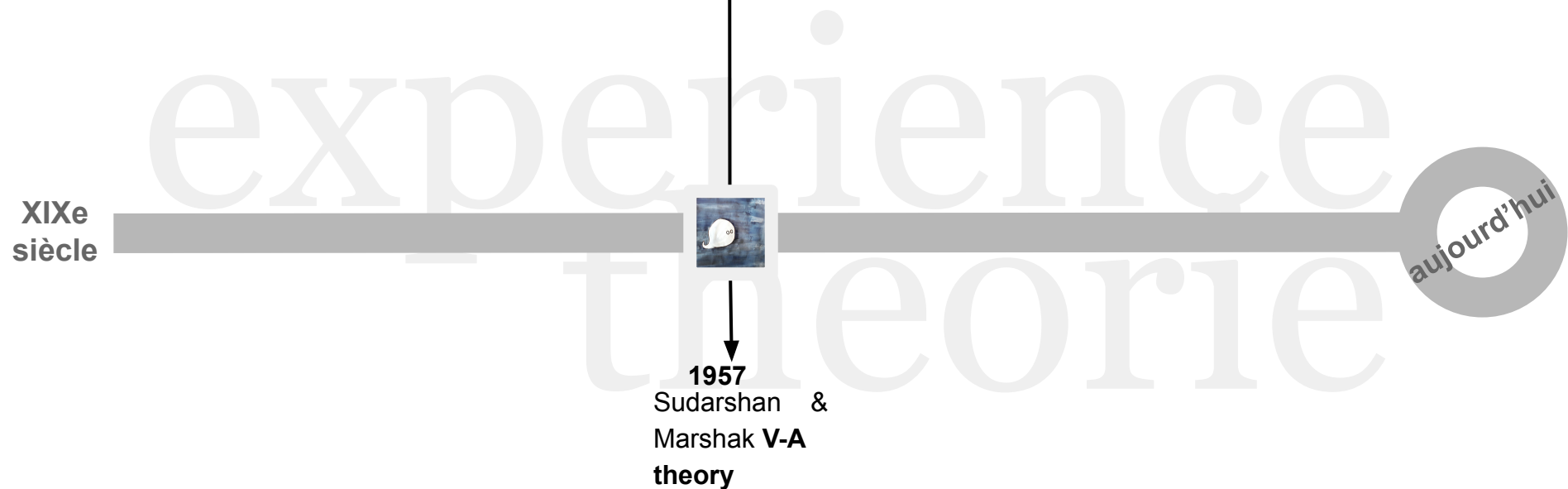


particules

spin : corps chargé tourne → moment magnétique → dipole → moment angulaire intrinsèque



ré-écriture de l'interaction faible



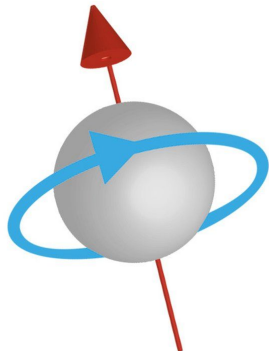
spin

classique

- corp chargé tourne
- moment magnétique
- dipôle ou aimant

quantique

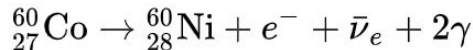
- même propriété
- sans tourner
- moment angulaire intrinsèque
- dévié par champ électromagnétique
(→ seulement valeurs discrètes)



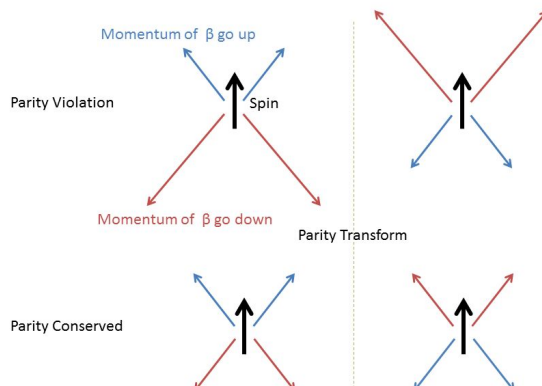
Violation de parité

Violation de parité

Lee & Yang & Wu



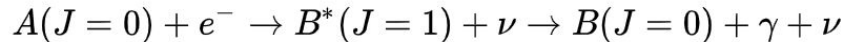
- désintégration cobalt
- vérifier la direction d'émissions des e^-
→ symétrie P dans l'interaction faible



If Parity conserved, the 2 pictures must be the same. That forcing the momentum of red and blue arrows are the same

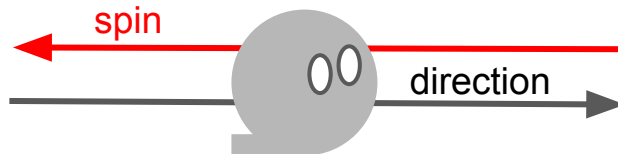
1957

neutrinos
gauche
Goldhaber



spin :

- corp chargé tourne
→ moment magnétique
→ dipôle
→ moment angulaire intrinsèque



neutrino sont gaucher

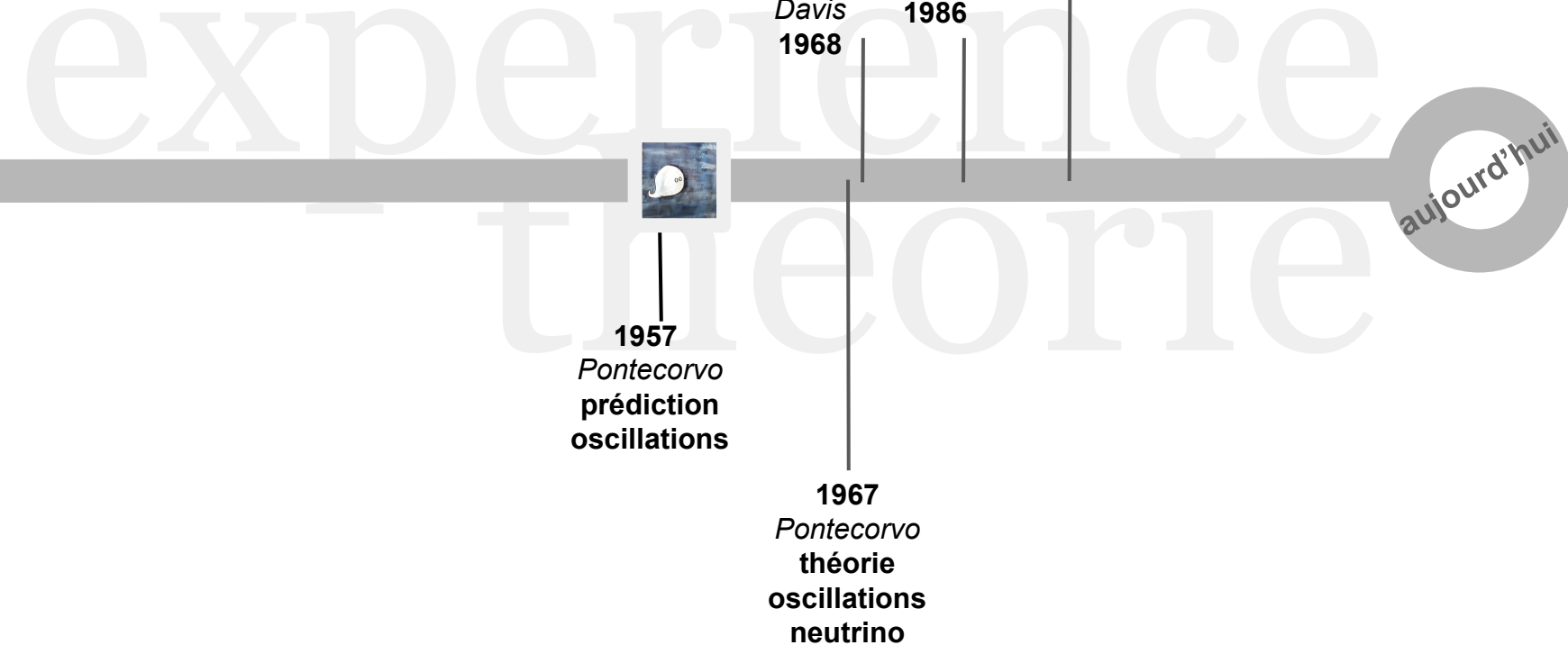
Sudarshan &
Marshak
1957
V-A theory

Violation de parité

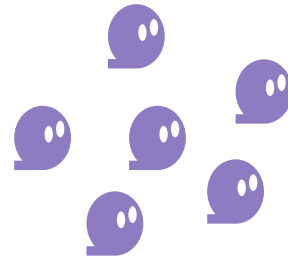
- révision modèle standard
- interaction faible
- influence **direct** de découverte expérimentale sur la théorie
- théorie insère **masse neutrino nulle**
- pas de raison d'ajouter une masse aux neutrinos
- pour cela il faudrait inclure un neutrino droit dans la théorie

oscillation des neutrinos

XIXe
siècle



problème des neutrinos solaires



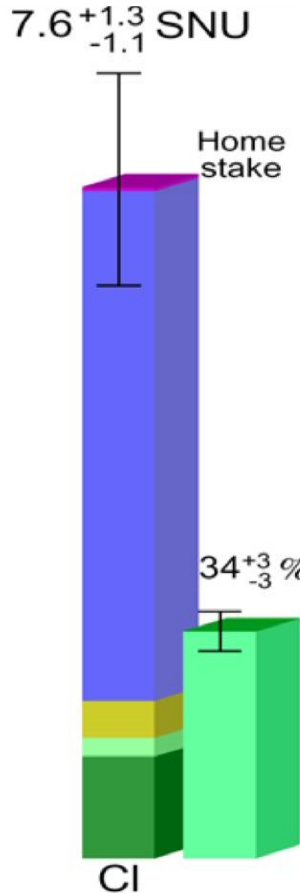
prediction



observation

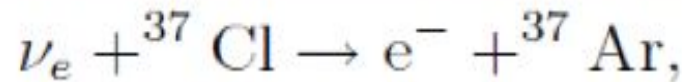


problème des neutrinos solaires

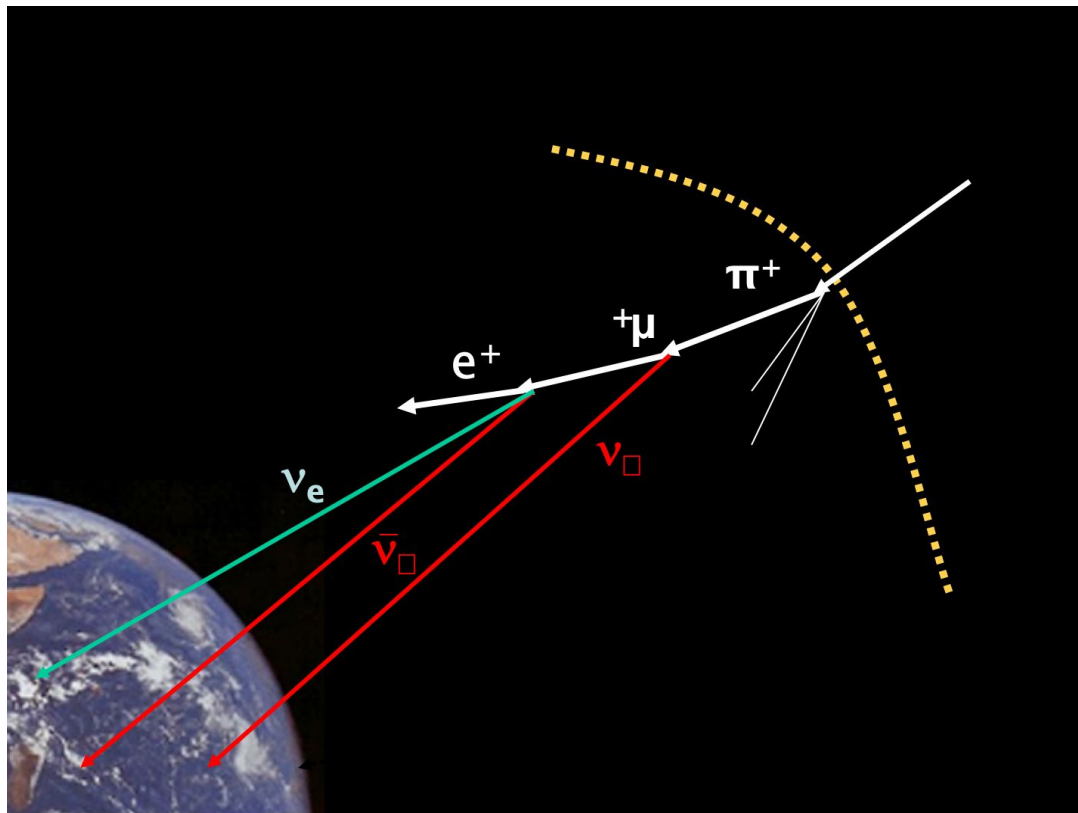


- $\text{exp}/\text{théo} = 34\% \text{ déficit solaire}$
- *Davis 1968*

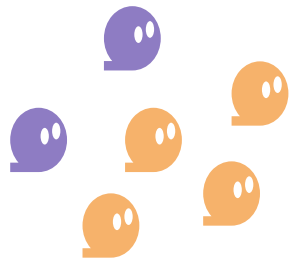
(380 000 L. de tétrachloroéthylène)



neutrino atmosphériques



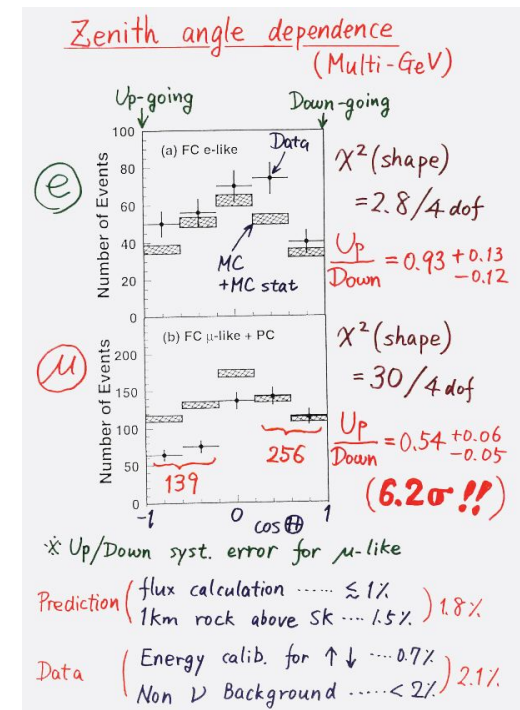
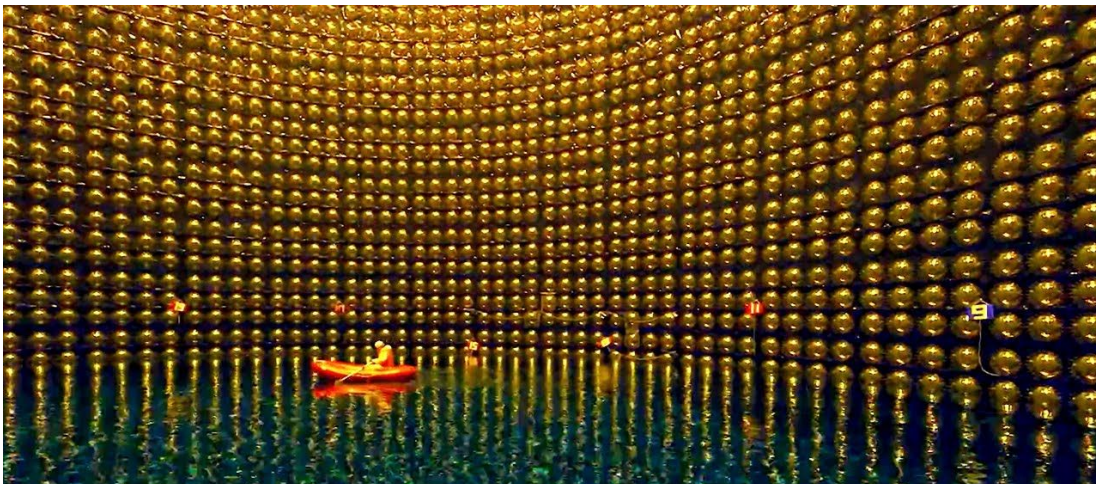
anomalie des neutrinos atmosphériques



preuve des oscillation Super-Kamiokande

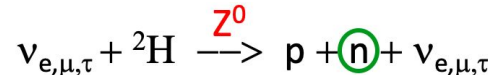
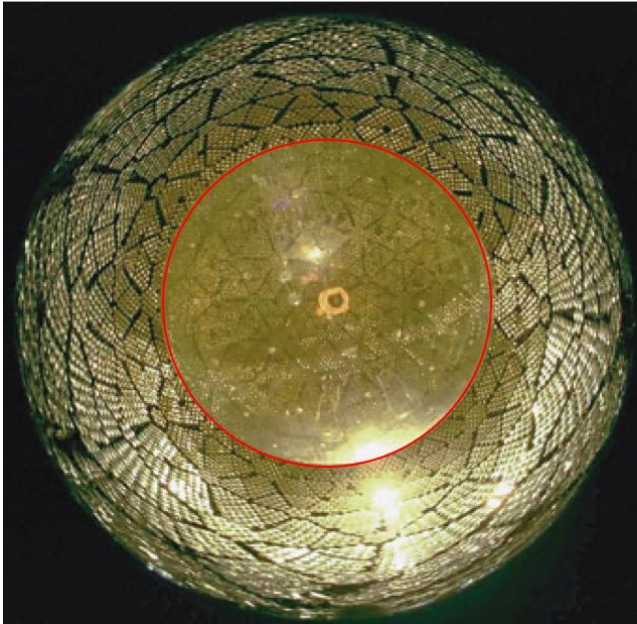
1998

50 000 tonnes d'eau ultrapure



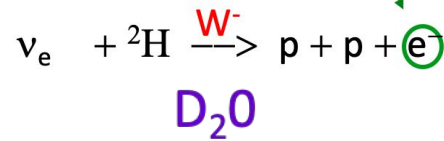
oscillation neutrinos solaires

SNO 2001

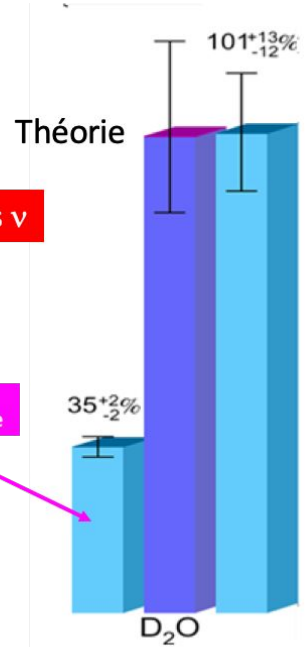


Particule détectée

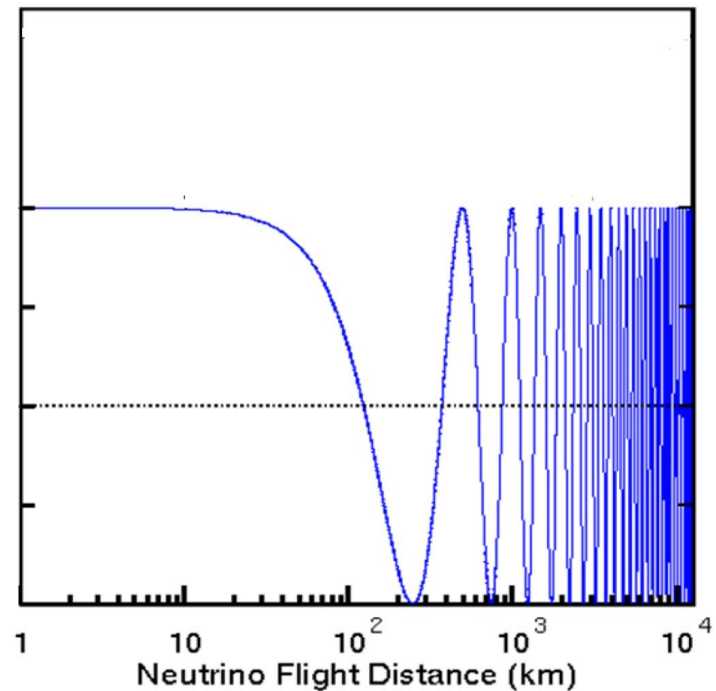
Sensible à tous les ν



Sensible aux les ν_e



probabilité d'oscillation



théorie de l'oscillation des neutrino

seulement impliquant neutrino électronique et muonique

NEUTRINO ASTRONOMY AND LEPTON CHARGE

V. GRIBOV* and B. PONTECORVO

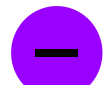
Joint Institute for Nuclear Research, Dubna, USSR

Received 20 December 1968

It is shown that lepton nonconservation might lead to a decrease in the number of detectable solar neutrinos at the earth surface, because of $\nu_e \rightleftarrows \nu_\mu$ oscillations, similar to $K^0 \rightleftarrows \bar{K}^0$ oscillations. Equations are presented describing such oscillations for the case when there exist only four neutrino states.

particles

electron

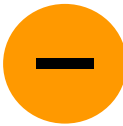


0.5 MeV



electron
neutrino

muon

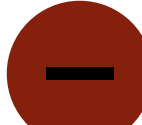


100 MeV



muon
neutrino

tau

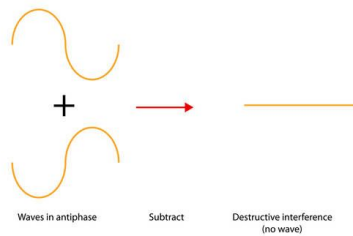
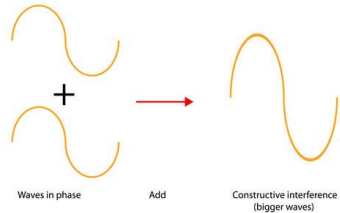
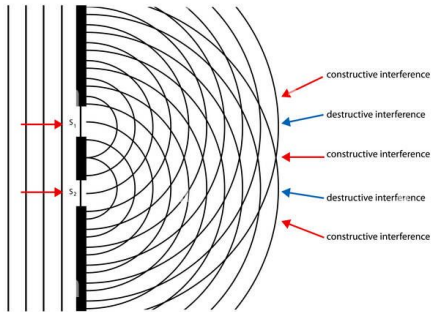


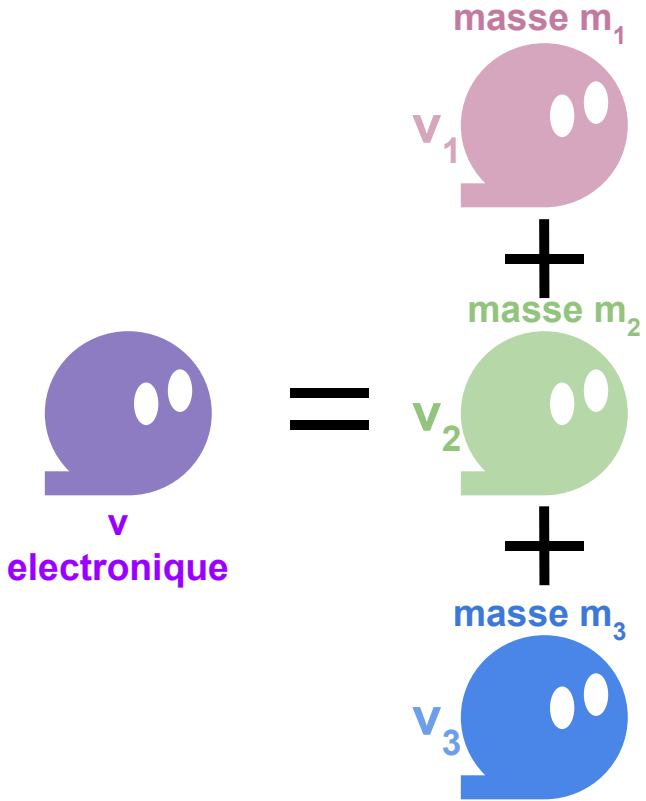
1700 MeV

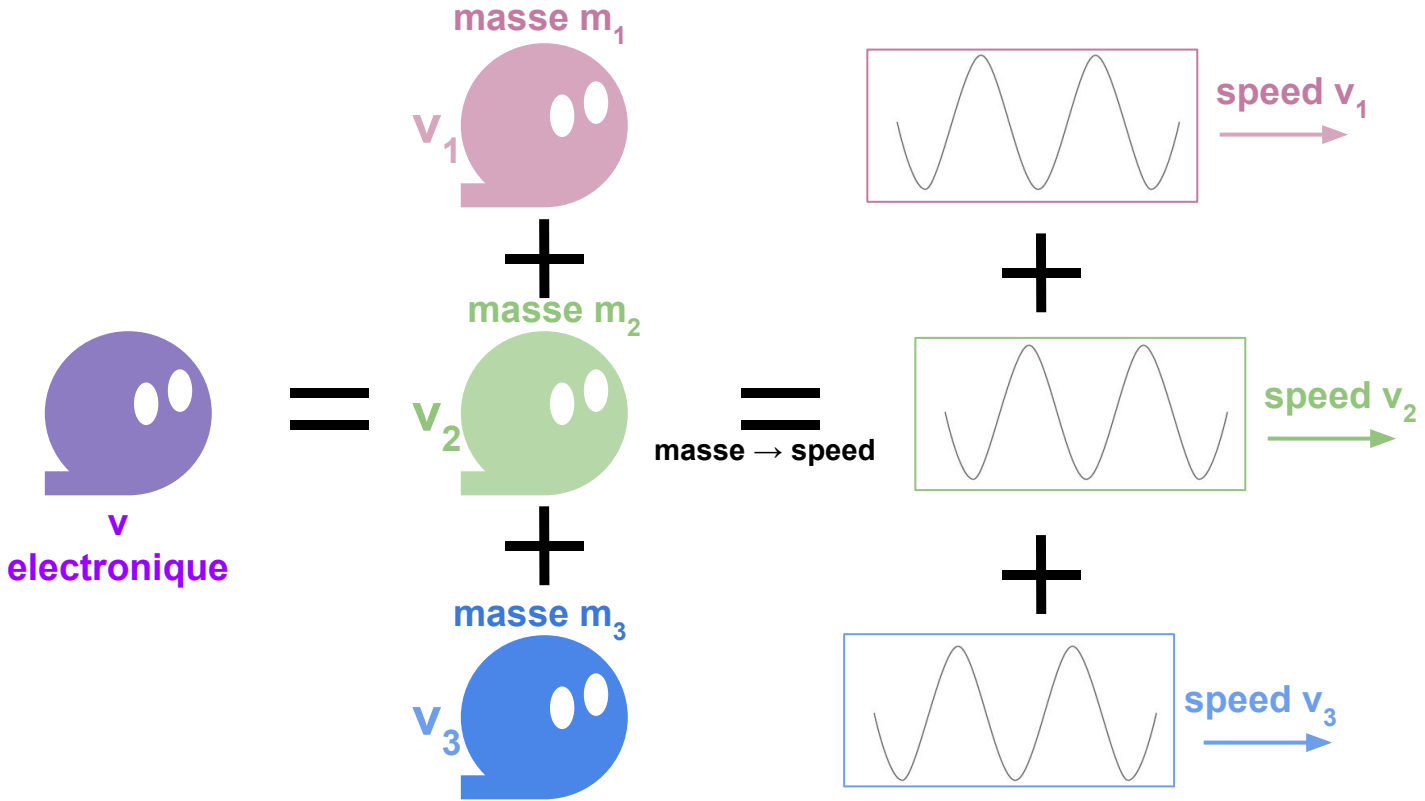


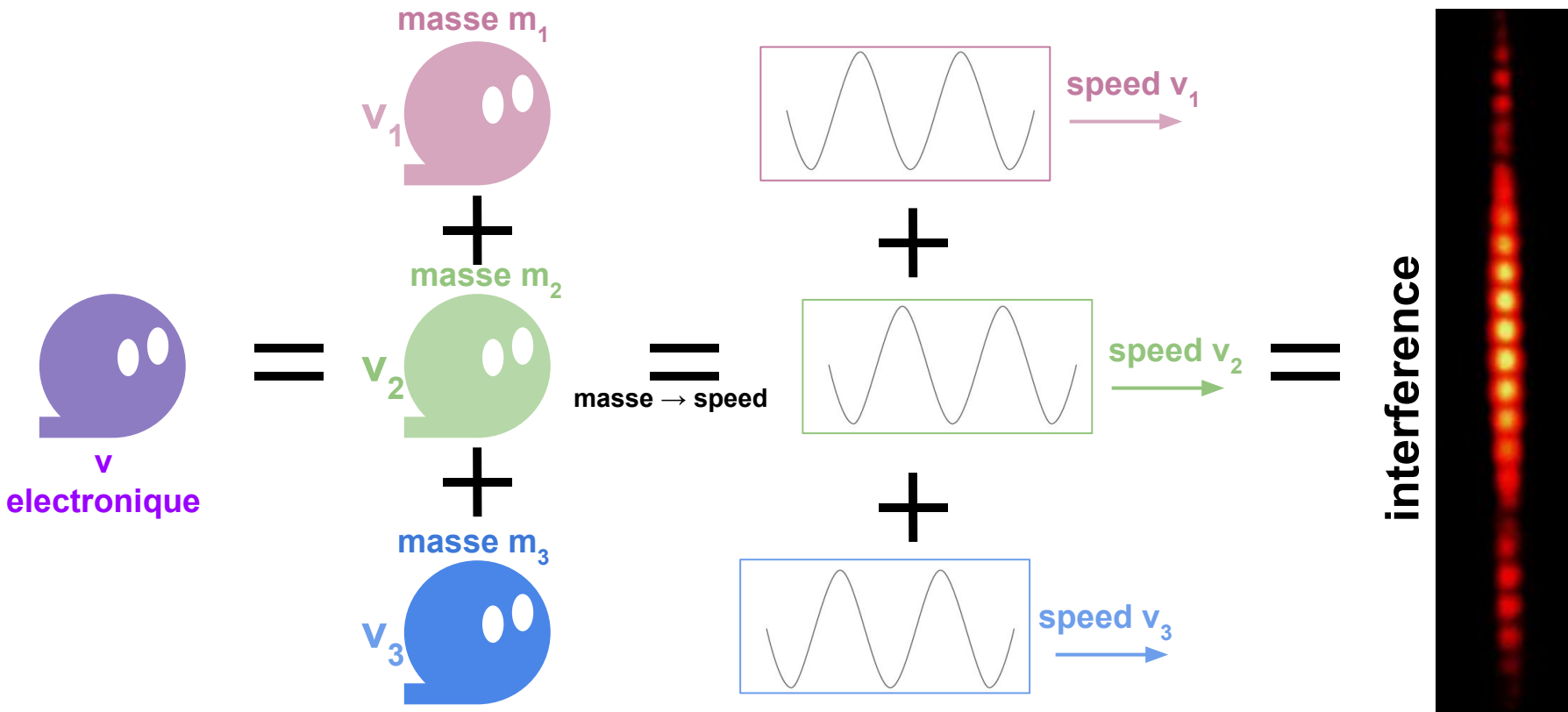
tau
neutrino

ondes

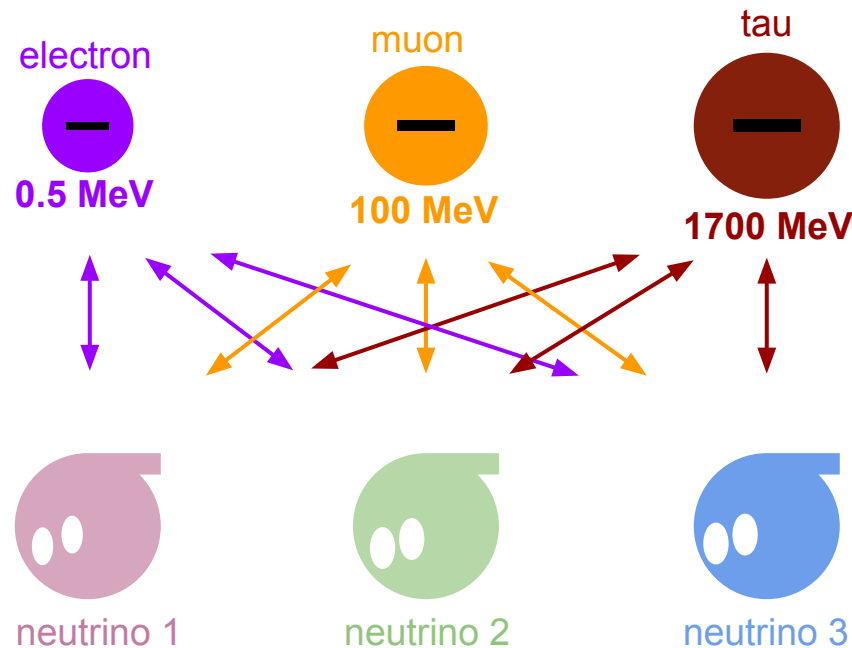


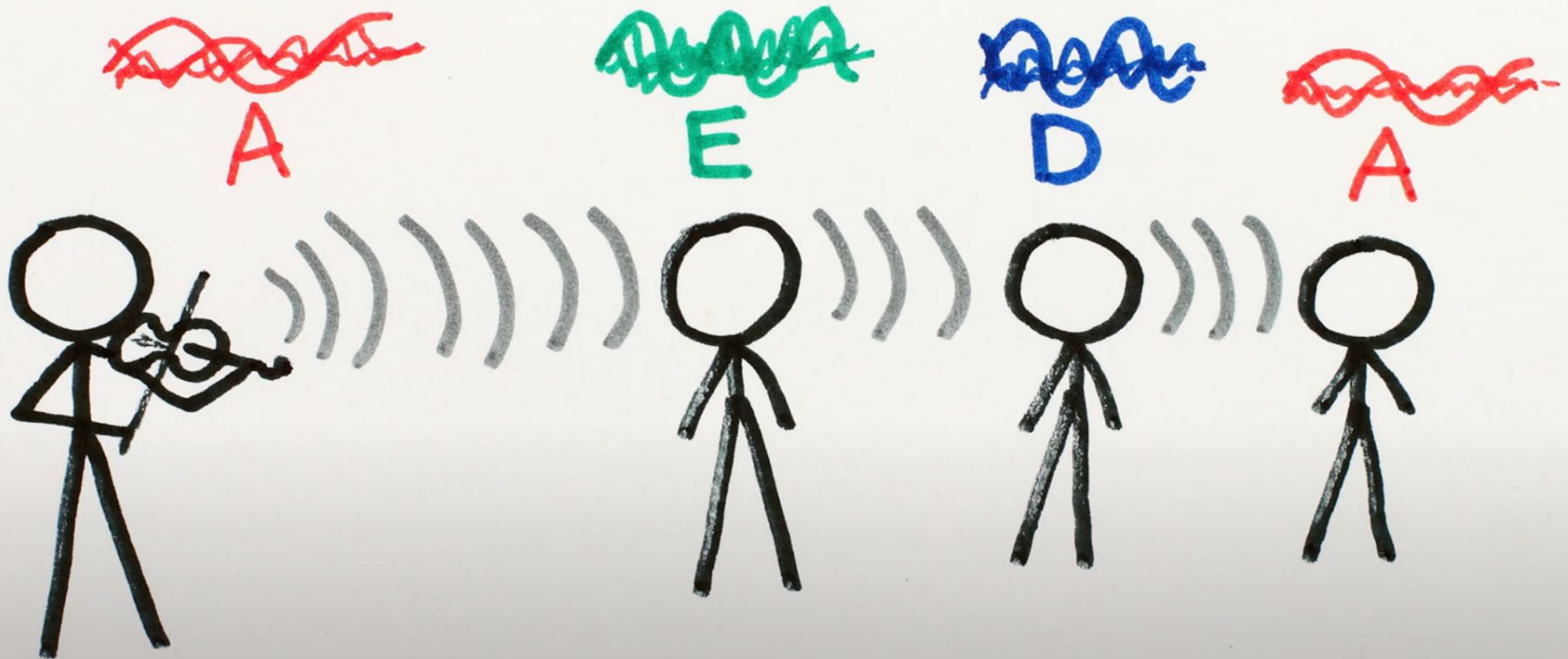


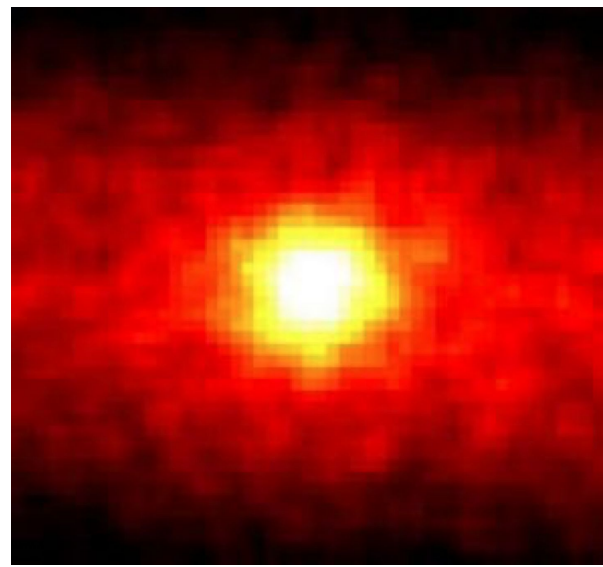




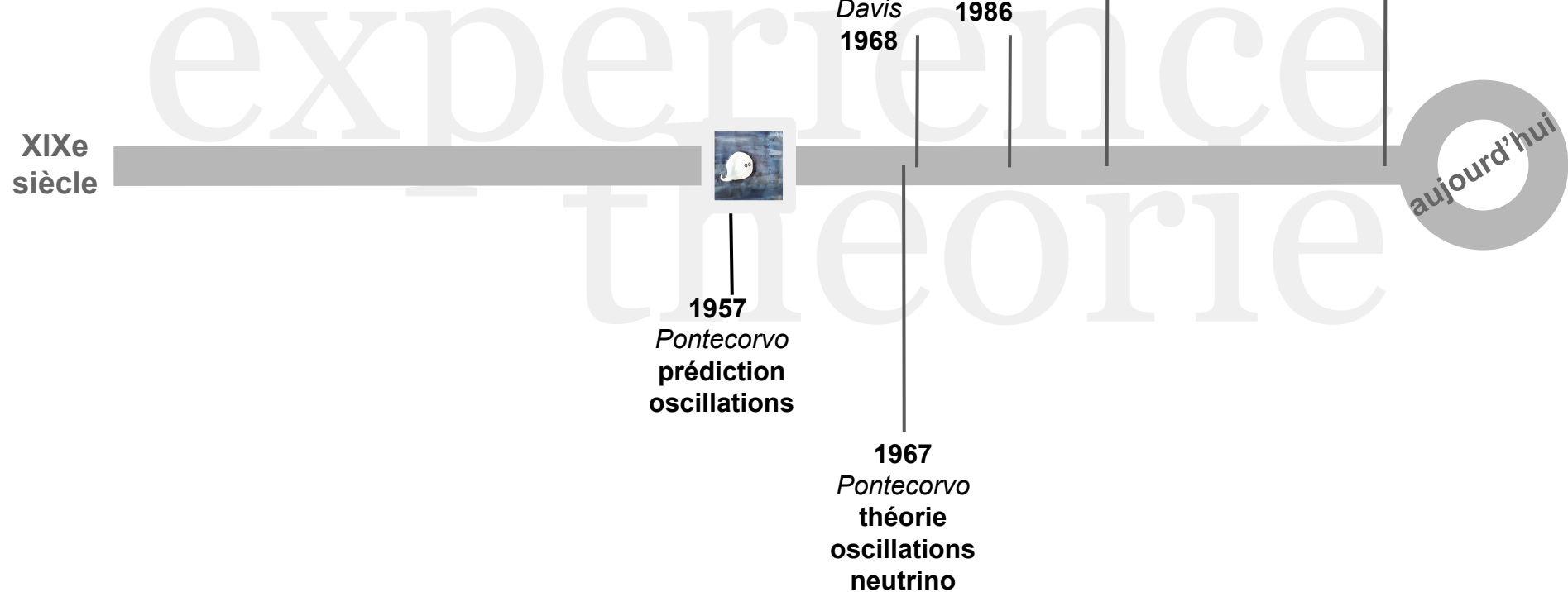
particles



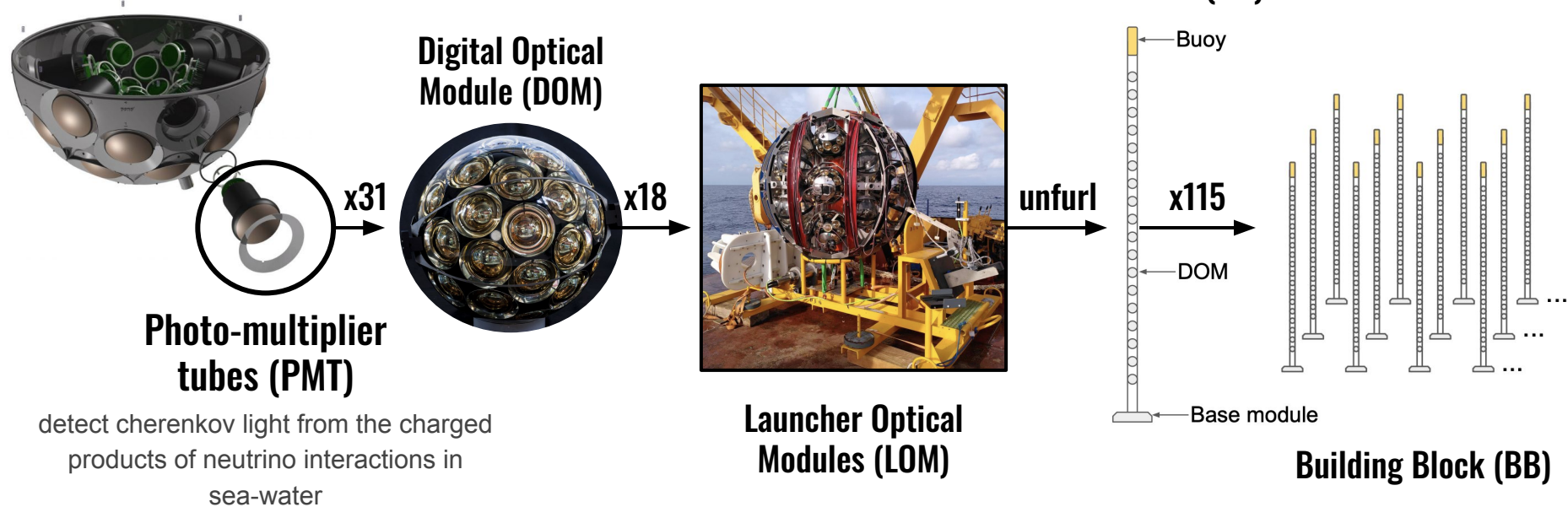


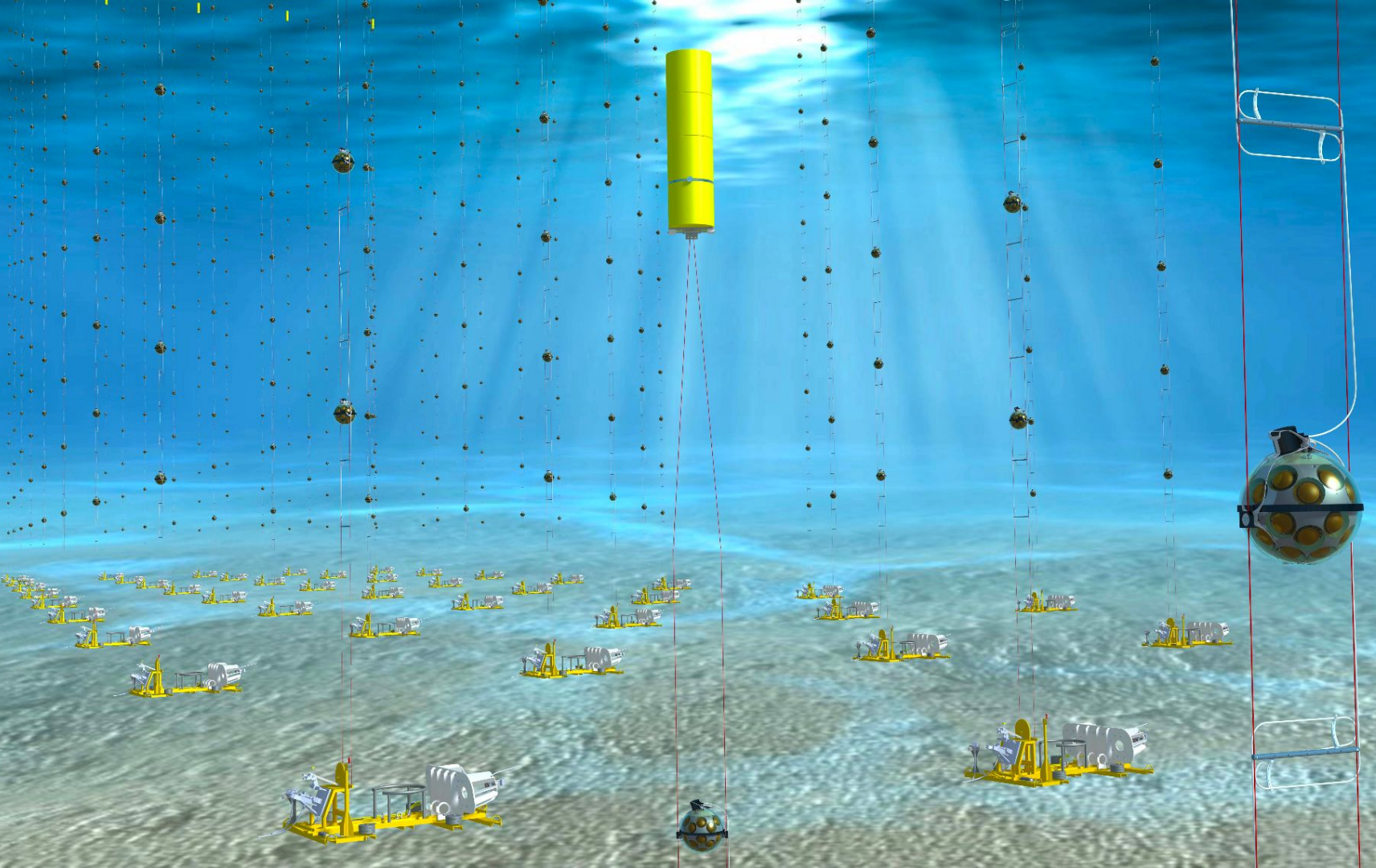


oscillation des neutrinos



KM3NeT

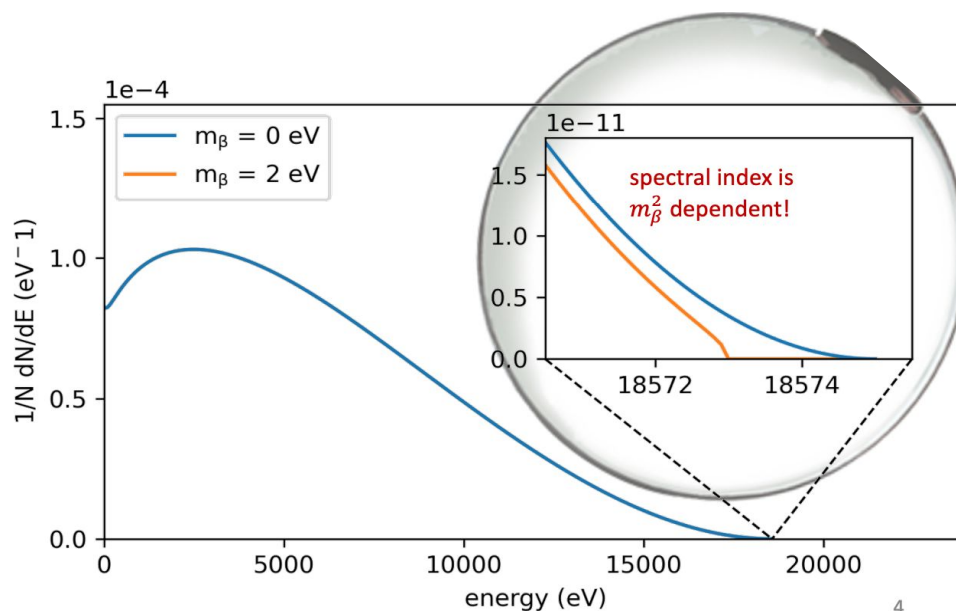




KATRIN

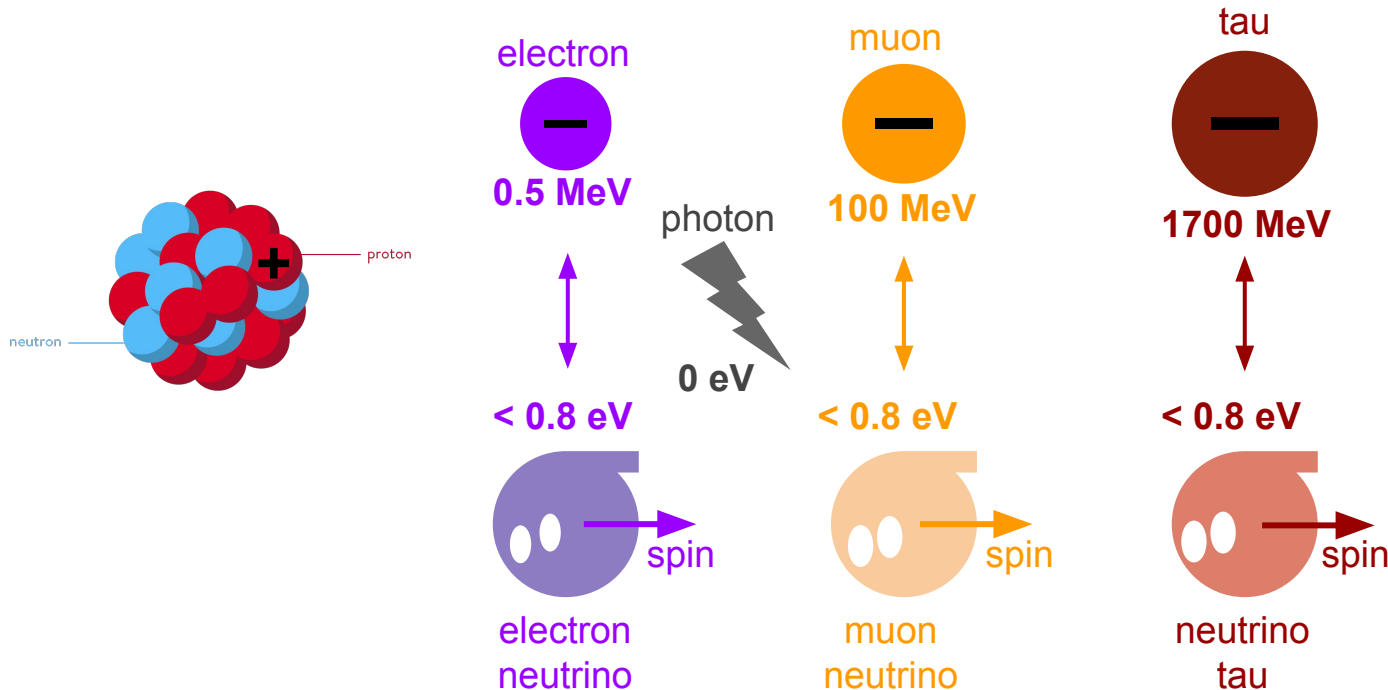


spectre continu
→ forme change selon la masse
masse neutrino électronique < 0.8 eV



particules

spin : corps chargé tourne → moment magnétique → dipole → moment angulaire intrinsèque



astronomie neutrino

experience
theorie

XIXe
siècle



1941
Gamov
prédition
supernovae
neutrinos

SN1987A

neutrino
astrophysique
IceCube
2013



neutrino
galactique
IceCube
2023

aujourd'hui

astronomie neutrino

experience
theorie

XIXe
siècle



1941
Gamov
prédition
supernovae
neutrinos

1941

Gamov

prédition
supernovae
neutrinos

SN1987A

neutrino
astrophysique
IceCube
2013

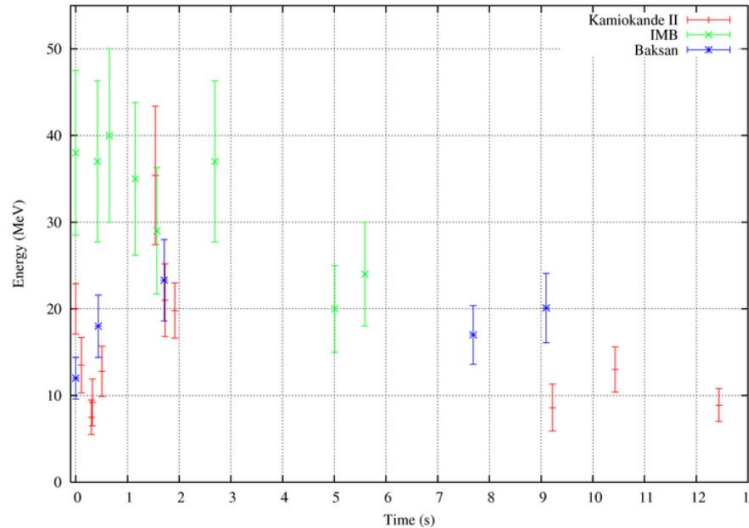
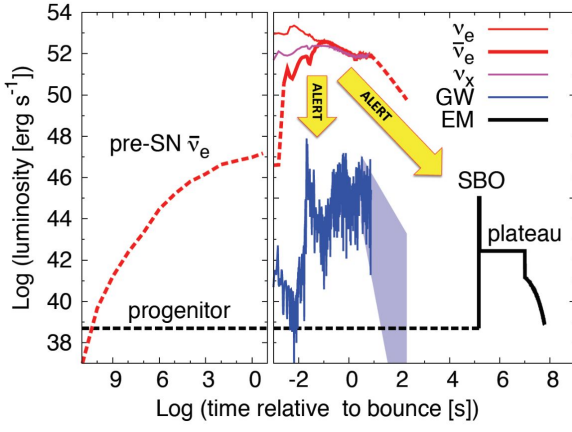
KM3NeT
2019

neutrino
galactique
IceCube
2023

aujourd'hui

SN1987A

- lumière visible 23/02/1987, **~10:00 UTC**
- neutrinos détectés **23/02/1987, 07:35 UTC**
- in the LMC, ~ 55 kpc \rightarrow proche galaxie
- explosion of a blue supergiant \rightarrow **Type II SN**
- only **~ 25 neutrinos** détectés
- $\sim 10^{58}$ émis



- **Kamiokande**
 $E_{th} = 8.5$ MeV
 $M = 2.9kt$
 $\Rightarrow 11$ neutrinos
- **IMB**
 $E_{th} = 29$ MeV
 $M = 6kt$
 $\Rightarrow 8$ neutrinos
- **Baksan**
 $E_{th} = 10$ MeV
 $M=130t$
 $\Rightarrow 3-5$ neutrinos
- **Mont Blanc**
 $E_{th} = 7$ MeV
 $M = 90t$
 $\Rightarrow 5$ neutrinos ???
(delay -3h)

1^{ers} neutrinos cosmiques

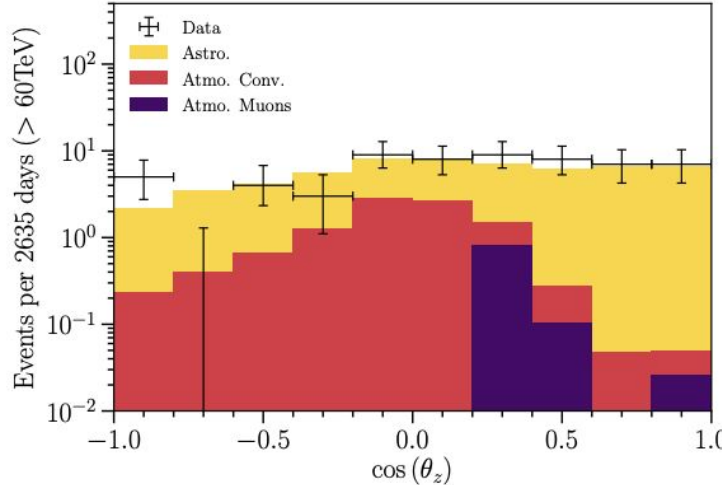
2013

ne provenant

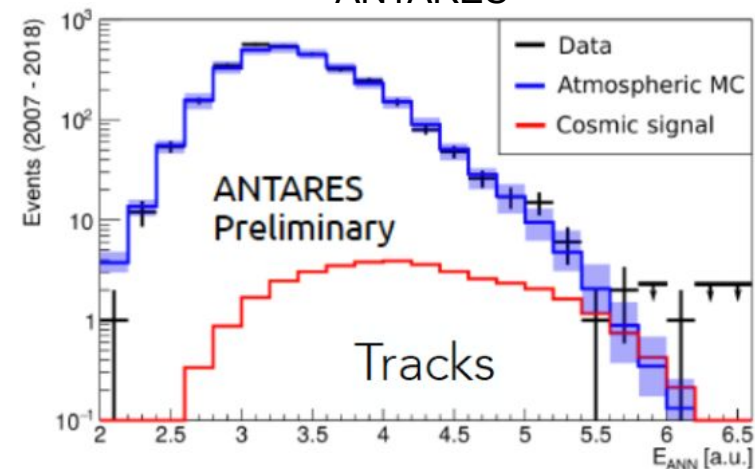
- ni de la terre
- ni du soleil
- ni de l'atmosphère

→ d'où proviennent ils ?

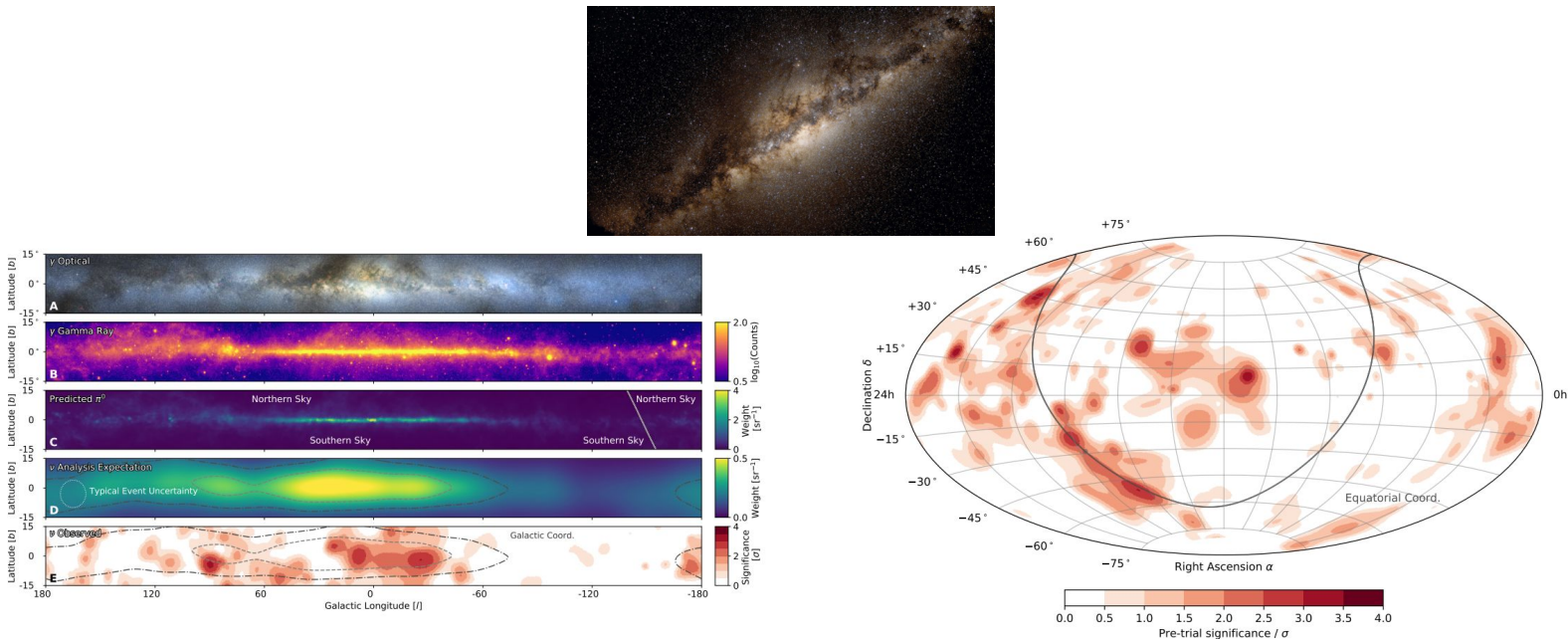
IceCube



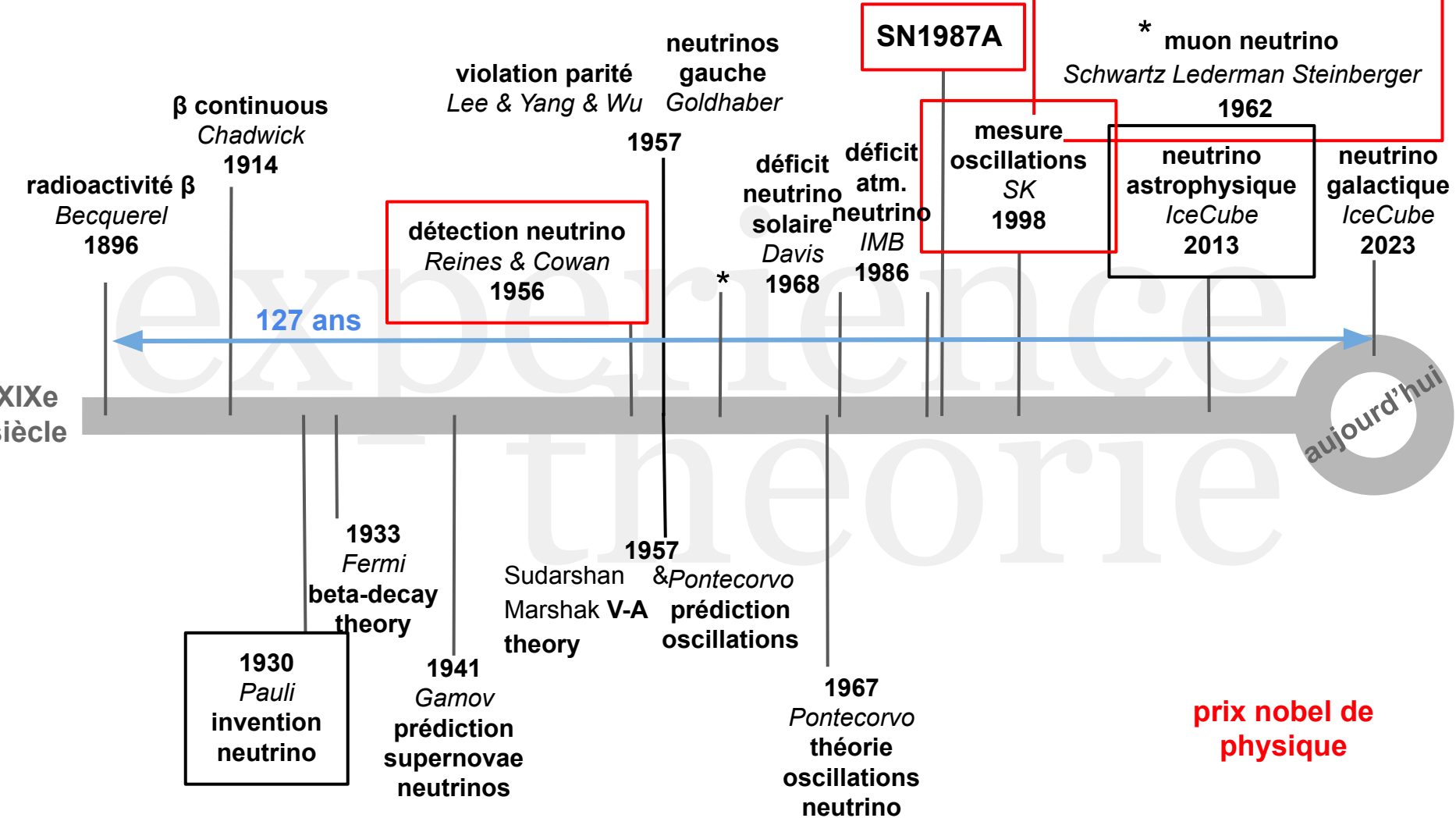
ANTARES



neutrinos du plan galactique



arXiv:2307.04427v1 [astro-ph.HE]
ICECUBE 10 Jul 2023



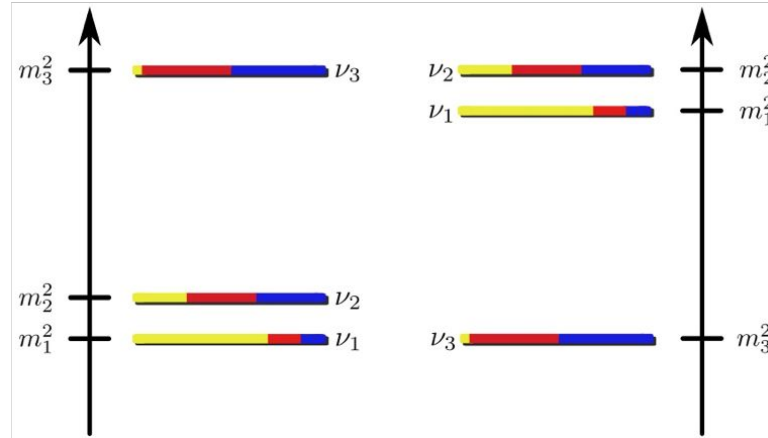
sources

- History of the neutrino, 2018,
Michel C., Jacques D. Daniel. V
- Jose Busto, CPPM
- Jurgen Brunner, CPPM
- minute physics, oscillations

backup

Possible mass pattern

- Naming/Color convention
 - Index 1, 2, 3 : increasing contribution of electron state
 - **Electron** **Muon** **Tau**
- Matter effect in sun fixes $m_2 > m_1$
- No matter effects to measure $\Delta m_{31}^2 \rightarrow$ sign unconstraint
- 2 schemes survive

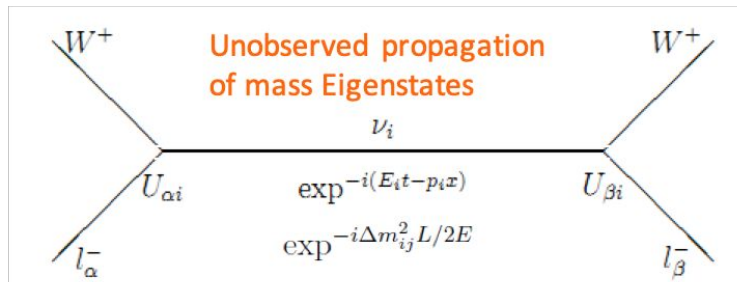


Neutrino Oscillations

- Weak Eigenstates are superposition of mass Eigenstates

$$\nu_\alpha = \sum_i U_{\alpha i} \nu_i$$

Neutrino detection
via CC interaction



Neutrino flavour defined via charged leptons

Coherent sum

$$P(\alpha \rightarrow \beta) = \left| \sum_i U_{\beta i} \exp^{-i(E_i t - \vec{p}_i \vec{x})} U_{\alpha i}^* \right|^2.$$

Classic: incoherent sum

$$P(\alpha \rightarrow \beta) = \sum_i |U_{\alpha i}|^2 |U_{\beta i}|^2$$

